### РАСЧЁТНОЕ ЗАДАНИЕ

# по дисциплине «Техника высоких напряжений» для студентов IV курса ИЭЭ

## «РАСЧЁТ МОЛНИЕЗАЩИТЫ ОТКРЫТОГО РАСПРЕДЕЛИТЕЛЬНОГО УСТРОЙСТВА (ОРУ) ПОДСТАНЦИИ»

#### ЗАДАНИЕ НА РАСЧЁТ

- 1. Определить параметры изолирующих подвесок для промежуточных опор воздушных линий электропередачи (ВЛ) и для порталов открытого распределительного устройства (ОРУ). Расчёты выполнить для обоих указанных в исходных данных классов напряжения. Определить импульсные разрядные напряжения для каждого расчётного случая.
- 2. Для каждого класса напряжения выбрать опору, фазный провод и молниезащитный трос ВЛ. Рассчитать стрелы провеса провода в пролёте. Определить длину опасной зоны и защищенного подхода и рассчитать ожидаемое число повреждений изоляции оборудования на подстанции (ОРУ-1 и ОРУ-2, рис. 1) от ударов молнии в ВЛ в пределах защищенного подхода.
- 3. Определить необходимое число и высоту стержневых молниеотводов для защиты электрооборудования от прямых ударов молнии и расставить молниеотводы на территории ОРУ, обеспечив требуемую надёжность. Рассчитать ожидаемое число повреждений в год изоляции электрооборудования ОРУ от прямых ударов молнии.
- 4. Определить параметры контура заземления подстанции (длину и число вертикальных электродов, шаг сетки), обеспечивающие допустимую величину его стационарного сопротивления заземления. Построить зависимость импульсного сопротивления контура заземления подстанции от тока молнии. Рассчитать ожидаемое число повреждений в год изоляции электрооборудования ОРУ в результате обратных перекрытий на территории подстанции.
- 5. Определить показатель грозоупорности подстанции и в случае необходимости предложить методы его повышения.

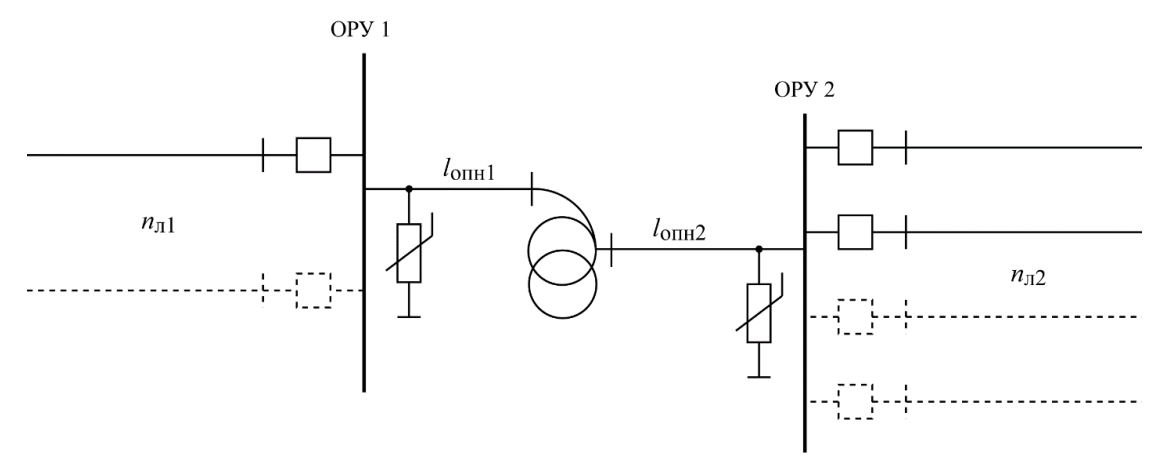


Рис. 1. Упрощенная схема подстанции

#### МЕТОДИЧЕСКИЕ УКАЗАНИЯ

Исходные данные представлены в таблице 1 и 2.

K пункту 1.

Для расчётов используются материалы \$17.1, 17.2, 31.1 [1] или \$23.2, 6.4 [2] . Необходимо также ознакомиться со всеми разделами главы 6 [2].

Для ВЛ большего класса напряжения применять гирлянды стеклянных подвесных изоляторов, для ВЛ меньшего класса напряжения – длинностержневые полимерные изоляторы.

На опорах использовать поддерживающие изолирующие подвески, состоящие из одной гирлянды или одного стержневого изолятора.

При выборе типа стеклянных изоляторов считать, что в местностях со степенями загрязнения атмосферы I и II в гирляндах используются изоляторы нормального исполнения, а в местностях со степенями загрязнения III и IV – изоляторы специального исполнения.

Конфигурация изолятора выбирается в соответствии с п.  $11.15 [3]^1$ .

Изоляторы выбираются из таблиц 3 и 5 в соответствии с требованиями п. 7-9, 11 [3]. Пояснения к таблице 3 даны в таблице 4. Допускается также выбор изоляторов из других источников (например, каталог продукции НПО «Изолятор»). В работе в любом случае обязательно указывать источник информации.

Удельная нормированная длина пути утечки выбирается в соответствии с таблицей 19 [3].

Наибольшее рабочее напряжение сети определяется по таблице 4.1 [4] в соответствии с её номинальным напряжением.

Высота расположения подстанции и воздушных линий над уровнем моря – до 1 км, если преподавателем не указано иное требование.

Для расчёта импульсных разрядных напряжений  $U_{50\%}$  гирлянд тарельчатых изоляторов воспользоваться следующей формулой:

$$U_{50\%} = E_{\rm cp.p} H_{\rm из1} n_{\scriptscriptstyle \Gamma}$$
 , кВ

где  $E_{\rm cp.p}$  — средняя разрядная напряженность, которую в расчётах принимать равной  $E_{\rm cp.p}$  = 5 кB/см,  $H_{\rm из1}$  — строительная высота одного изолятора, см;  $n_{\rm r}$  — число изоляторов в гирлянде.

Для полимерных изоляторов значения  $U_{50\%}$  определяются по таблице 5.

Выбор опор и проводов проводится по справочнику [5].

Рекомендуется выбирать промежуточные одноцепные свободностоящие опоры. Предлагается считать, что изоляционные подвески, поддерживающие крайние фазные провода, крепятся на концах траверс опор, если в [5] не указано иное.

Класс по ветру выбирать в соответствии с указаниями преподавателя.

-2-

 $<sup>^1</sup>$  Наличие в районе размещения подстанции засоленных почв, промышленных загрязнений или ее близость к морю — по указанию преподавателя.

#### *К пункту 2.*

Расчёт критической крутизны фронта набегающей волны выполнить для случая, когда ОПН установлен до защищаемого оборудования (силового трансформатора или автотрансформатора) по ходу движения волны. Для расчёта максимального значения напряжения на трансформаторе  $U_{\rm Tp}$  воспользоваться схемой замещения рис. 2.

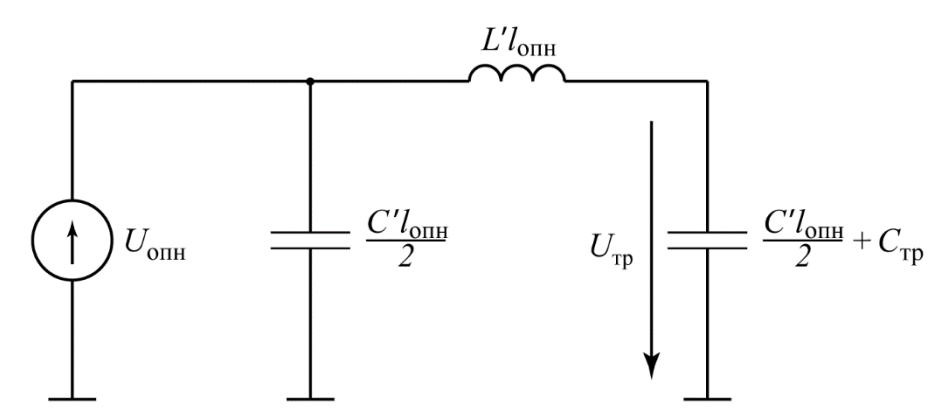


Рис. 2. Схема замещения для расчёта напряжения на трансформаторе  $(U_{\text{опн}}$  – напряжение на ОПН, L' и C' – погонные индуктивность и ёмкость ошиновки;  $l_{\text{опн}}$  – длина ошиновки между ОПН и автотрансформатором;  $C_{\text{тр}}$  – входная ёмкость трансформатора)

При расчёте погонных параметров L' и C' ошиновки между ОПН и трансформатором принять, что скорость распространения волны по ошиновке v=300 м/мкс, если иное не указано преподавателем.

Для схемы замещения (рис. 2) расчётная зависимость отношения максимального напряжения на изоляции трансформатора к остающемуся напряжению ОПН  $U_{\text{ост}}$  приведена на рисунке 3, где пунктирной линией показана кривая максимальных значений, а сплошной – огибающая максимальных значений, которую и следует использовать в расчётах.

ОПН следует выбирать по наибольшему длительно допустимому рабочему напряжению аппарата  $U_{\rm Hp}$ . Оно должно быть как минимум на 2% выше наибольшего рабочего фазного напряжения сети  $U_{\rm Hpc, \varphi}$ . Характеристики ОПН 110–750 кВ приведены в таблице 6. Остающееся напряжение ОПН  $U_{\rm oct}$  выбирается по току координации, который следует принять равным 5 кА для ПС 110–220 кВ и 10 кА – для ПС 330–750 кВ.

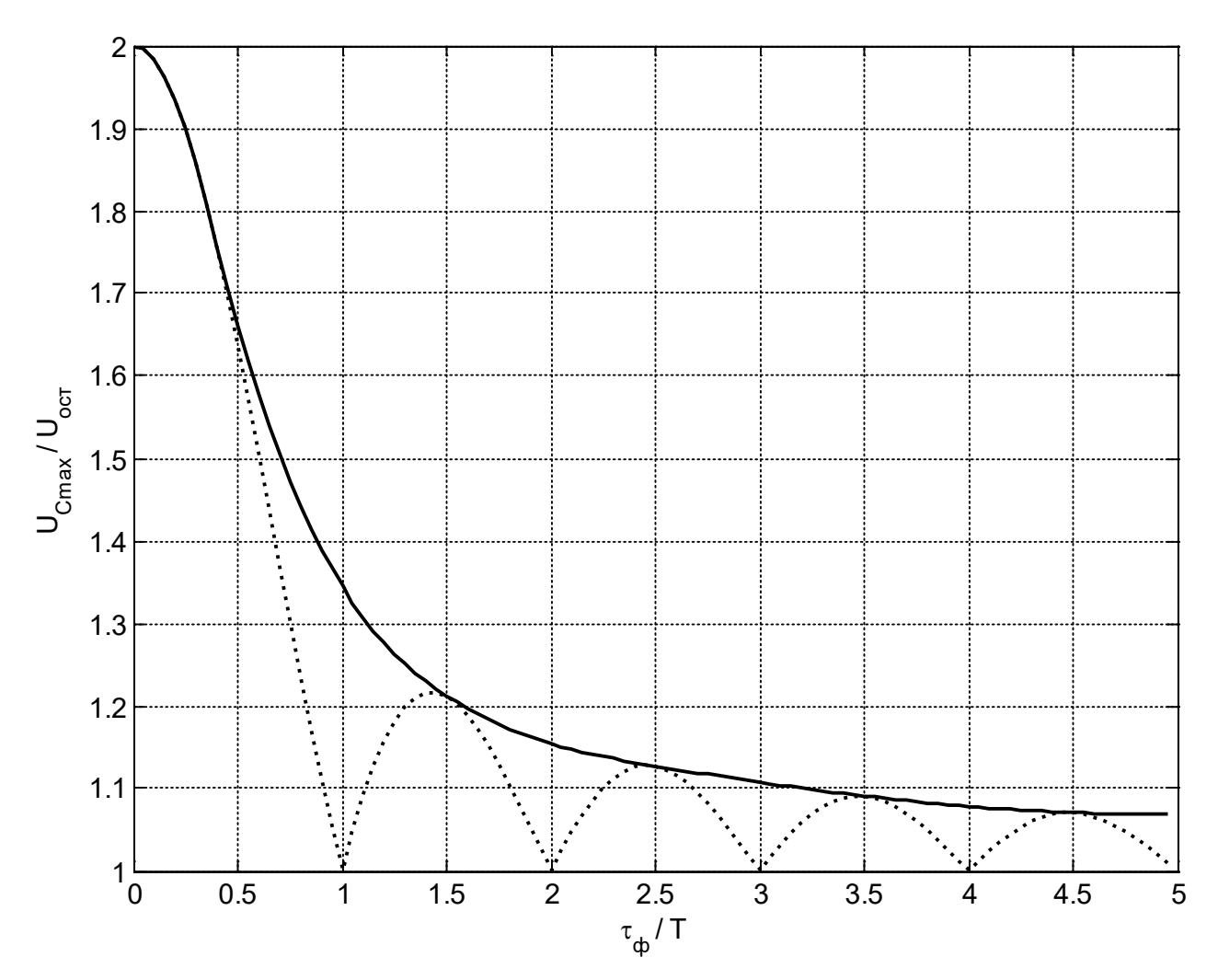


Рис. 3. Зависимость максимального напряжения на емкости в схеме рис. 2 от отношения  $\tau_{\phi}/T$  при импульсе с косоугольном фронтом

Выбранный ОПН нужно проверить по условию обеспечения термической устойчивости аппарата при однофазных коротких замыканиях на шинах. Для этого  $U_{\rm Hp}$  должно удовлетворять следующему условию:

$$U_{\rm Hp} \ge \frac{1}{K_t} \sqrt{\left(U_{\rm Hpc, \phi} + 0.5 \Delta U\right)^2 + \frac{3}{4} \Delta U^2}$$

где

 $K_t = \frac{U_{\text{доп}}(t)}{U_{\text{нр}}}$  – коэффициент, определяемый по зависимости «напряжение—время» (рис. 4) для случая с предварительным нагружением нормируемым импульсом энергии;

 $U_{\text{доп}}(t)$  — допустимое напряжение ОПН в течение времени t (для проверки ОПН по условиям работы при квазистационарных перенапряжениях, вызванных однофазными короткими замыканиями на землю, время t принимают равным времени срабатывания последней ступени релейной защиты  $t_{p3}$  (в расчётах принять  $t_{p3} = 1$  с);

 $\Delta U$  — приращение напряжения на здоровых фазах, определяемое по сопротивлениям системы по прямой и нулевой последовательностям (соответственно  $x_1$  и  $x_0$ ):

$$\Delta U = U_{\mathrm{HPC}, \phi} rac{k-1}{k+2}$$
, где  $k = rac{x_0}{x_1}$ .

Коэффициент k задаётся в качестве исходных данных в таблице 1.

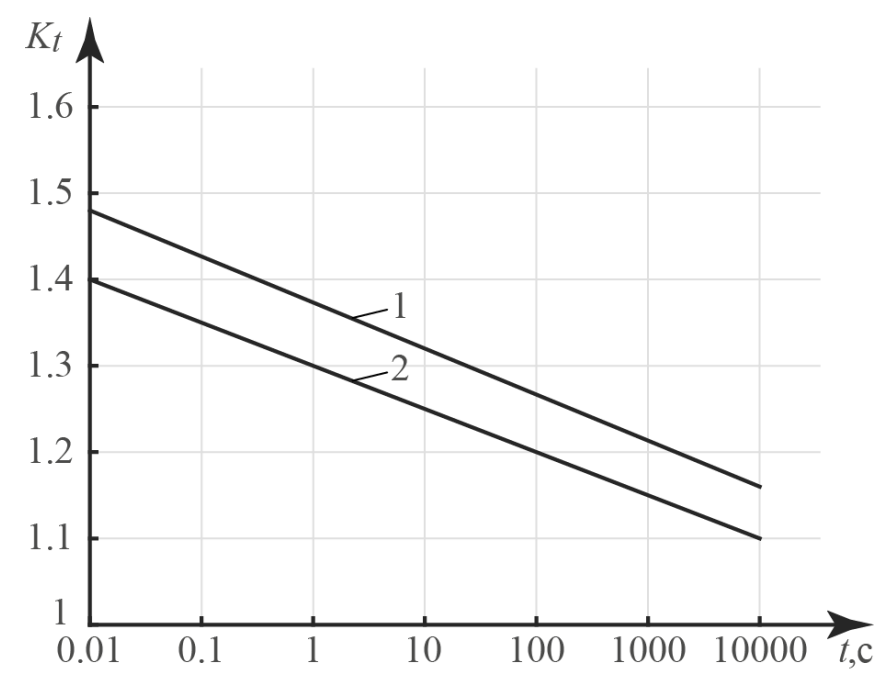


Рис. 4. Характеристики «напряжение-время»

(1 – без предварительного нагружения; 2 – с предварительным нагружением)

После расчёта критических крутизн  $U_{\text{кр}}^{'}$  волн напряжения, набегающих по линиям на ОРУ-1 и ОРУ-2, их необходимо скорректировать в соответствии с числом ВЛ  $n_{\text{вл}}$ , подключённых к ОРУ:

$$U_{\mathrm{kp}}'(n) = K_n U_{\mathrm{kp}}'$$

Значения коэффициента  $K_n$  принять в соответствии с таблицей 7.

Для полученных значений критических крутизн волн напряжения  $U'_{\rm kp}(n)$  рассчитать длины опасных зон, а затем с учётом длины пролёта определить длины защищенных тросами подходов  $l_{\rm 3n_1}$  и  $l_{\rm 3n_2}$  ([7], стр. 205, [8]).

Значение импульсного сопротивления заземления опоры ВЛ  $R_{и_{on}}$  (необходимо при расчёте вероятности перекрытия гирлянды изоляторов в случае удара молнии в вершину опоры) *указывается преподавателем*. Если преподавателем не указано значение  $R_{u_{on}}$ , то принять его равным 15 Ом.

Средняя высота  $h_{\text{пр}_{\text{CD}}}$  провода в пролёте ВЛ рассчитывается как

$$h_{\mathrm{np}_{\mathrm{cp}}} = h_{\mathrm{np}_{\mathrm{on}}} - \frac{2}{3} f_{\mathrm{np}}$$
 ,

где  $h_{\rm пp}{}_{\rm on}$  — высота подвеса фазного провода на опоре;  $f_{\rm np}$  — стрела провеса фазного провода.

Стрела провеса фазного провода  $f_{\rm np}$  определяется как

$$f_{\rm np} = 4 \cdot 10^{-4} \cdot \frac{l_{\rm npon}^2}{\sqrt{S_{\rm cr}}},$$

где  $l_{\text{прол}}$  — длина пролёта (подставляется в метрах);  $S_{\text{ст}}$  — площадь сечения стального сердечника сталеалюминиевого провода марки АС (подставляется в мм<sup>2</sup>).

Вероятность пробоя воздушного промежутка «молниезащитный трос – фазный провод» принимается равной 0, если преподавателем не указано иное.

Стрелу провеса молниезащитного троса принять равной

$$f_{\rm Tp} = m \cdot f_{\rm np},$$

где  $f_{\rm np}$  — стрела провеса фазного провода, а значение коэффициента m указывается преподавателем. Если преподавателем не указано значение m, то принять его равным 0.8.

*К пункту 3.* 

При расчёте зон защиты молниеотводов использовать рекомендации [9] или [10] (*ука-зывается преподавателем*).

Высоту молниеотвода (вершины молниеприёмника) принять равной

$$h = h_{x} + (10 \div 18) \text{ M},$$

где  $h_{\rm X}$  – высота порталов ОРУ большего класса напряжения.

Шаг изменения высоты молниеотвода при расчётах брать равным 2 метра, если иное не указано преподавателем.

Все расчётные итерации требуется оформлять в виде таблиц.

Графических решений задачи представить минимум 2: на первой и последней итерациях расчёта зон защиты молниеотводов. Если первая итерация сразу является успешной (подстанция защищена), то необходимо показать, что при уменьшении высоты молниеотводов территорию подстанции невозможно защитить от прямых ударов молнии. Уменьшение высоты молниеотвода выполнять с шагом 1 метр до первого расчёта, когда территория подстанции не будет защищена.

На графическом решении обозначить места установки молниеотводов с указанием рядом их номеров и смещений в метрах относительно верхнего левого угла территории подстанции. Например, метка «2 (4,5; 6)» означает, что это молниеотвод с номером «2», отстоящий от верхнего левого угла территории подстанции на 4,5 метра вправо и на 6 метров вниз.

На графическом решении необходимо выделить незащищённые участки, если таковые имеются.

#### К пункту 4.

Для расчёта воспользоваться рекомендациями §21.3 учебника [1]. Необходимо подобрать такие параметры, чтобы стационарное сопротивление контура заземления не превышало 0,5 Ом. При невозможности выполнения этого условия предложить (строго (!) в пункте 5 задания) мероприятия, направленные на снижение стационарного сопротивления до требуемого уровня.

Шаги горизонтальных полос по длине и ширине сетки следует выбирать минимальными из ряда значений 3 м, 4 м и 5 м таким образом, чтобы количество полос было целым числом, если иное не указано преподавателем.

Длину вертикальных стержней контура заземления подстанции принимать в диапазоне  $3\div10$  м, если иное не указано преподавателем.

Расчёт стационарного сопротивления заземления ОРУ выполнить для двух случаев (если преподавателем не указано иное):

- 1) вертикальные стержни установлены только в узлах сетки, расположенных на внешних горизонтальных полосах (узлы расположены по периметру территории подстанции);
- 2) вертикальные стержни установлены во всех узлах сетки.

Для расчёта импульсного сопротивления контура заземления обосновать выбор одного из рассчитанных значений стационарного сопротивления заземления.

Расчёт импульсного сопротивления контура заземления выполнить для диапазона значений тока молнии  $I_{\rm M}$  от 1 до 150 кА. Для расчёта импульсного сопротивления воспользоваться рекомендациями § 21.3 учебника [1].

Значение удельной индуктивности портала на ОРУ принять равным 0,9 мкГн/м, если преподавателем не указано иное.

*К пункту 5.* 

Среднее число лет безаварийной работы подстанции определяется по формуле:

$$M = \frac{1}{\beta_1 + \beta_2 + \beta_{3_1} + \beta_{3_2}}$$

где

 $\beta_1$  — среднее ожидаемое число перекрытий изоляции подстанции из-за прорывов молнии в зону защиты молниеотвода (из п. 1.6);

 $\beta_2$  — среднее ожидаемое число перекрытий изоляции подстанции при ударах молнии в молниеотводы (из п. 1.6);

 $\beta_{3_1}$  и  $\beta_{3_2}$  — средние ожидаемые числа перекрытий изоляции подстанции вследствие набегания по линиям опасных волн напряжения на ОРУ-1 и ОРУ-2 (рис. 1).

В предложении методов повышения показателя грозоупорности подстанции (если необходимо) требуется привести не общие слова и цитаты из литературы, а действенные методы повышения грозоупорности подстанции, основанные на результатах выполненного расчётного задания, для чего необходимо проанализировать полученные результаты и выявить наиболее влияющие на показатель грозоупорности величины.

#### Литература

- 1. Базуткин В.В., Ларионов В.П., Пинталь Ю.С. Техника высоких напряжений. Изоляция и перенапряжения в электрических системах / Под ред. В.П. Ларионова. 3-е изд. М.: Энергоатомиздат, 1986.
- 2. Ларионов В.П., Базуткин В.В., Сергеев Ю.Г. Техника высоких напряжений (Изоляция и перенапряжения в электрических установках) / Под ред. В.П. Ларионова. М.: Энергоиздат, 1982.
- 3. СТО 56947007-29.240.059-2010. Инструкция по выбору изоляции электроустановок // OAO «ФСК ЕЭС», 2010.
- 4. ГОСТ Р 55195-2012. Электрооборудование и электроустановки переменного тока на напряжение от 1 до 750 кВ. Требования к электрической прочности изоляции // М.: Стандартинформ, 2014.
- 5. Справочник по электрическим установкам высокого напряжения / под ред. И.А. Баумштейна, С.А. Бажанова. 3-е изд., перераб. и доп. М.: Энергоатомиздат, 1989.
- 6. Правила устройства электроустановок. Седьмое издание. М.: Министерство энергетики Российской Федерации, 2002.
- 7. Лабораторные работы по технике высоких напряжений. Аронов М.А. и др. М.: Энергоатомиздат, 1982.
- 8. Гилязов М.З., Ларин В.С., Матвеев Д.А. Компьютерная лабораторная работа «Защита подстанций от набегающих волн». Методическое пособие по курсу «Изоляция и перенапряжения» для студентов, обучающихся по направлению «Электроэнергетика». М.: Издательский дом МЭИ, 2010.
- 9. Инструкция по устройству молниезащиты зданий и сооружений. РД 34.21.122-87.-M.: Минэнерго СССР, 1987.
- 10. Инструкция по устройству молниезащиты зданий, сооружений и промышленных коммуникаций. СО-153-34.21.122—2003. М.: Издательство МЭИ, 2004.

Таблица 1 - Исходные данные

| №  | $U_{Hom}$ | , кВ | C3A | $F_{\text{mex}}$ | , кН | Район по | Iпро | л, М | <i>l</i> л, | КМ  | $\rho_{\gamma}$ | $D_{\Gamma}$ , | a,  | <i>b</i> , | lопн | ı, M | n | ВЛ |      | k    |
|----|-----------|------|-----|------------------|------|----------|------|------|-------------|-----|-----------------|----------------|-----|------------|------|------|---|----|------|------|
|    | 1         | 2    |     | 1                | 2    | гололеду | 1    | 2    | 1           | 2   | Ом·м            | ч/год          | M   | M          | 1    | 2    | 1 | 2  | 1    | 2    |
| 1  | 220       | 110  | III | 80               | 50   | III      | 200  | 225  | 150         | 100 | 65              | 55             | 50  | 80         | 20   | 30   | 1 | 2  | 2,75 | 3,2  |
| 2  | 330       | 110  | II  | 110              | 60   | III      | 275  | 210  | 200         | 110 | 90              | 40             | 70  | 90         | 35   | 25   | 1 | 3  | 2,8  | 3,0  |
| 3  | 330       | 150  | III | 130              | 80   | II       | 325  | 250  | 220         | 130 | 110             | 50             | 80  | 60         | 30   | 30   | 1 | 4  | 2,5  | 3,0  |
| 4  | 330       | 220  | I   | 90               | 80   | I        | 365  | 310  | 240         | 180 | 70              | 40             | 90  | 60         | 20   | 40   | 2 | 3  | 2,6  | 2,8  |
| 5  | 500       | 110  | II  | 180              | 60   | I        | 400  | 305  | 360         | 90  | 60              | 40             | 70  | 80         | 15   | 45   | 1 | 4  | 2,5  | 3,5  |
| 6  | 500       | 220  | I   | 200              | 100  | III      | 330  | 280  | 320         | 210 | 120             | 40             | 90  | 70         | 40   | 20   | 1 | 3  | 2,75 | 2,9  |
| 7  | 750       | 220  | II  | 220              | 90   | II       | 430  | 345  | 400         | 150 | 95              | 35             | 70  | 100        | 35   | 25   | 2 | 3  | 2,8  | 3,0  |
| 8  | 220       | 110  | II  | 90               | 60   | III      | 295  | 250  | 250         | 100 | 115             | 30             | 50  | 60         | 30   | 35   | 1 | 4  | 3,0  | 2,9  |
| 9  | 330       | 110  | I   | 130              | 80   | IV       | 240  | 190  | 260         | 90  | 95              | 50             | 70  | 50         | 20   | 45   | 2 | 4  | 2,5  | 2,8  |
| 10 | 330       | 150  | II  | 90               | 50   | II       | 300  | 335  | 280         | 120 | 105             | 60             | 50  | 80         | 15   | 40   | 2 | 3  | 2,4  | 2,8  |
| 11 | 330       | 220  | III | 110              | 90   | I        | 315  | 315  | 300         | 160 | 50              | 30             | 50  | 90         | 40   | 35   | 1 | 3  | 2,6  | 3,2  |
| 12 | 500       | 110  | I   | 200              | 80   | IV       | 290  | 225  | 390         | 80  | 135             | 55             | 100 | 60         | 35   | 20   | 1 | 4  | 2,9  | 3,3  |
| 13 | 500       | 220  | II  | 150              | 80   | I        | 365  | 340  | 370         | 190 | 125             | 35             | 70  | 100        | 30   | 20   | 2 | 4  | 2,8  | 2,7  |
| 14 | 750       | 220  | I   | 250              | 100  | II       | 450  | 300  | 320         | 220 | 145             | 50             | 120 | 70         | 20   | 30   | 2 | 4  | 2,7  | 2,6  |
| 15 | 220       | 110  | III | 100              | 80   | III      | 280  | 190  | 200         | 110 | 110             | 25             | 70  | 50         | 15   | 35   | 1 | 4  | 2,9  | 3,2  |
| 16 | 330       | 110  | I   | 90               | 50   | IV       | 220  | 150  | 210         | 90  | 100             | 20             | 50  | 80         | 40   | 40   | 1 | 3  | 2,4  | 2,9  |
| 17 | 330       | 150  | III | 110              | 60   | II       | 310  | 255  | 230         | 110 | 80              | 30             | 50  | 100        | 20   | 25   | 2 | 3  | 2,5  | 2,75 |
| 18 | 330       | 220  | II  | 130              | 100  | IV       | 230  | 220  | 250         | 170 | 70              | 45             | 80  | 70         | 35   | 25   | 1 | 3  | 2,6  | 3,0  |
| 19 | 500       | 220  | IV  | 180              | 105  | II       | 365  | 310  | 340         | 145 | 100             | 50             | 80  | 60         | 45   | 20   | 2 | 4  | 2,9  | 3,0  |
| 20 | 500       | 110  | II  | 150              | 50   | I        | 355  | 320  | 300         | 100 | 75              | 45             | 60  | 120        | 25   | 35   | 1 | 2  | 2,8  | 2,8  |
| 21 | 500       | 220  | I   | 180              | 90   | IV       | 280  | 240  | 370         | 230 | 125             | 30             | 80  | 40         | 35   | 40   | 2 | 4  | 2,8  | 3,6  |
| 22 | 750       | 220  | I   | 200              | 80   | III      | 380  | 280  | 330         | 240 | 145             | 55             | 120 | 70         | 40   | 15   | 1 | 4  | 2,5  | 3,4  |
| 23 | 330       | 220  | III | 90               | 80   | I        | 335  | 310  | 240         | 180 | 50              | 45             | 60  | 100        | 20   | 30   | 1 | 4  | 2,7  | 3,0  |
| 24 | 500       | 220  | I   | 200              | 100  | IV       | 300  | 270  | 320         | 210 | 95              | 50             | 60  | 80         | 35   | 20   | 2 | 4  | 2,75 | 2,8  |
| 25 | 330       | 110  | II  | 130              | 80   | III      | 285  | 255  | 260         | 90  | 55              | 40             | 50  | 70         | 40   | 45   | 1 | 4  | 2,6  | 3,1  |

| N₂ | $U_{	ext{	t HOM}}$ | , кВ | C3A | $F_{\text{mex}}$ | , кН | Район по | $l_{\rm npo}$ | л, М | $l_{\scriptscriptstyle  m J},$ | КМ  | ρ,   | $D_{\Gamma}$ , | a,  | <i>b</i> , | $l_{\text{опн}}$ | , M | nı | ВЛ | I   | k    |
|----|--------------------|------|-----|------------------|------|----------|---------------|------|--------------------------------|-----|------|----------------|-----|------------|------------------|-----|----|----|-----|------|
|    | 1                  | 2    |     | 1                | 2    | гололеду | 1             | 2    | 1                              | 2   | Ом·м | ч/год          | M   | M          | 1                | 2   | 1  | 2  | 1   | 2    |
| 26 | 500                | 110  | III | 200              | 80   | I        | 370           | 340  | 390                            | 80  | 60   | 35             | 110 | 70         | 45               | 50  | 1  | 3  | 2,8 | 2,9  |
| 27 | 750                | 220  | III | 250              | 100  | III      | 420           | 280  | 320                            | 220 | 150  | 45             | 70  | 120        | 30               | 60  | 2  | 4  | 2,5 | 2,8  |
| 28 | 330                | 110  | II  | 90               | 50   | II       | 290           | 235  | 210                            | 90  | 130  | 50             | 50  | 60         | 15               | 40  | 1  | 3  | 2,7 | 2,75 |
| 29 | 500                | 220  | III | 180              | 90   | I        | 395           | 325  | 370                            | 230 | 80   | 55             | 70  | 80         | 20               | 45  | 1  | 2  | 2,6 | 2,7  |
| 30 | 750                | 220  | II  | 200              | 80   | III      | 410           | 310  | 330                            | 240 | 50   | 40             | 120 | 90         | 30               | 35  | 2  | 3  | 2,6 | 2,5  |

№ – номер индивидуального варианта задания,

 $U_{\text{ном}}$  – номинальное напряжение линии,

СЗА – степень загрязнения атмосферы,

 $F_{\text{мех}}$  – механическая нагрузка на изоляторы (изолирующую подвеску),

 $l_{\text{прол}}$  – длина пролёта линии,

 $l_{\text{л}}$  – длина линии,

р – расчетное удельное сопротивление грунта в районе расположения подстанции,

 $D_{\Gamma}$  – число грозовых часов в году в районе прохождения линии и расположения подстанции,

a и b – габариты подстанции,

 $l_{\text{опн}}$  – расстояния от защищаемого объекта до ОПН в ОРУ,

 $n_{\rm BJ}$  — число воздушных линий электропередачи, подходящих к OPУ,

k – коэффициенты, равные максимально возможному отношению внутренних индуктивных сопротивлений сети по нулевой и прямой последовательности (x0/x1) при однофазном КЗ на  $\frac{1}{2}$  на  $\frac$ 

Таблица 2 - Исходные данные, зависящие от класса напряжения

| $U_{ном},\kappa\mathbf{B}$ | <b>Z</b> c, Ом | <i>h</i> <sub>x</sub> , м | $C_{	au p}$ , п $\Phi$ | $U_{\rm исп.пги}, \kappa { m B}$ |
|----------------------------|----------------|---------------------------|------------------------|----------------------------------|
| 110                        | 420            | 12                        | 1600                   | 480                              |
| 150                        | 400            | 14                        | 1800                   | 550                              |
| 220                        | 370            | 17                        | 2000                   | 750                              |
| 330                        | 330            | 20                        | 3000                   | 950                              |
| 500                        | 300            | 24                        | 4200                   | 1300                             |
| 750                        | 280            | 30                        | 4600                   | 1800                             |

 $U_{\text{ном}}$  – класс напряжения,

 $Z_{c}$  – волновое сопротивление воздушной линии и ошиновки ОРУ,

 $l_{\rm np}$  – длина пролёта воздушных линий,

 $h_{\rm X}$  – высота портала ОРУ,

 $C_{\text{тр}}$  – входная емкость защищаемого оборудования (силового автотрансформатора),

 $U_{\text{исп.пги}}$  — нормированные значения испытательного напряжения полного грозового импульса для силовых трансформаторов и автотрансформаторов.

Таблица 3 - Характеристики стеклянных подвесных линейных изоляторов<sup>2</sup>

| Тип изолятора  | <i>F</i> , кН | <i>D</i> , мм | Н, мм | $L_{ m yr},$ mm |
|----------------|---------------|---------------|-------|-----------------|
| ПС 70Е (127)   |               | 255           | 127   | 320             |
| ПС 70Е (146)   |               | 255           | 146   | 320             |
| ПС 70И         | ]             | 255           | 146   | 407             |
| ПСВ 70А        | 70            | 280           | 146   | 445             |
| ПСД 70Е (127)  | 70            | 270           | 127   | 411             |
| ПСД 70Е (146)  |               | 270           | 146   | 411             |
| ПСС 70А (127)  |               | 310           | 127   | 310             |
| ПСС 70А (170)  |               | 310           | 170   | 310             |
| ПС 80А         | 80            | 255           | 140   | 320             |
| ПС 120Б (127)  |               | 255           | 127   | 320             |
| ПС 120Б (146)  | ]             | 255           | 146   | 320             |
| ПС 120Б (170)  | ]             | 255           | 170   | 320             |
| ПС 120В        | ]             | 255           | 146   | 407             |
| ПСВ 120Б (127) | 120           | 280           | 127   | 445             |
| ПСВ 120Б (146) | ]             | 280           | 146   | 445             |
| U 120BP1       |               | 320           | 146   | 555             |
| ПСС 120Б (127) |               | 330           | 127   | 330             |
| ПСС 120Б (146) |               | 330           | 146   | 330             |
| ПС 160Д (146)  |               | 280           | 146   | 385             |
| ПС 160Д (170)  |               | 280           | 170   | 385             |
| ПС160К         | 1.00          | 280           | 170   | 460             |
| ПСВ 160А (146) | 160           | 320           | 146   | 545             |
| ПСВ 160А (170) | ]             | 320           | 170   | 545             |
| ПСД 160А       |               | 350           | 146   | 440             |
| ПС 190А (170)  |               | 280           | 170   | 428             |
| ПС 190А (190)  | 190           | 280           | 190   | 428             |
| ПСВ 190А       | ]             | 340           | 196   | 617             |
| ПС 210В (170)  |               | 280           | 170   | 380             |
| ПС 210В (190)  | ]             | 280           | 190   | 380             |
| ПС 210Д        | ]             | 280           | 170   | 482             |
| ПСВ 210А (170) | 210           | 330           | 170   | 555             |
| ПСВ 210А (195) | ]             | 330           | 195   | 555             |
| ПСК 210А       | ]             | 410           | 155   | 410             |
| ПСС 210Б       |               | 410           | 156   | 410             |

 $<sup>^2</sup>$  Обозначения, принятые в табл. 3: F – механическая разрушающая сила при растяжении, кH, не менее; D – диаметр тарелки изолятора, мм; H — строительная высота изолятора, мм;  $L_{\rm yr}$  — длина пути утечки изолятора, мм.

| Тип изолятора  | <i>F</i> , кН | <i>D</i> , мм | Н, мм | $L_{ m yr}$ , мм |
|----------------|---------------|---------------|-------|------------------|
| ПС 240А (170)  |               | 280           | 170   | 428              |
| ПС 240А (190)  | 240           | 280           | 190   | 428              |
| ПСВ 240А (170) | 240           | 340           | 170   | 617              |
| ПСВ 240А (195) |               | 340           | 195   | 617              |
| ПС 300Б        |               | 320           | 195   | 385              |
| ПС 300В        |               | 320           | 195   | 390              |
| ПС 300Г        | 300           | 320           | 195   | 485              |
| ПСВ 300А       | 300           | 360           | 195   | 617              |
| ПСК 300А       |               | 450           | 180   | 460              |
| ПСК 300К       |               | 450           | 175   | 457              |

Таблица 4 – Аббревиатуры конфигурации изоляционной детали

| Аббревиатура         | Расшифровка                                      |  |  |  |  |
|----------------------|--|--|--|--|--|
| ПС                   | подвесной стеклянный нормального исполнения      |  |  |  |  |
| Специальные исполнен | ия   |  |  |  |  |
| ПСВ (ВР)             | подвесной стеклянный с увеличенным вылетом ребра |  |  |  |  |
| ПСД                  | подвесной стеклянный двукрылый                   |  |  |  |  |
| ПСС                  | подвесной стеклянный сферический                 |  |  |  |  |
| ПСК                  | подвесной стеклянный конусный                    |  |  |  |  |

Таблица 5 – Характеристики полимерных линейных подвесных стержневых изоляторов<sup>3</sup>

| Тип изолятора   | $U_{\text{ном}}$ , кВ | <i>F</i> , кН | <i>H</i> , мм | <i>Н</i> <sub>из</sub> , мм | $L_{ m yr}$ , мм | <i>U</i> 50%, кВ |
|-----------------|-----------------------|---------------|---------------|-----------------------------|------------------|------------------|
| ЛК-70/110-2     |                       |               | 1203          | 1015                        | 2700             | 630              |
| ЛК-70/110-3     |                       |               | 1203          | 1015                        | 3140             | 630              |
| ЛК-70/110-4     |                       | 70            | 1333          | 1145                        | 3545             | 700              |
| ЛКК 70/110-III  |                       |               | 1275          | 1078                        | 3360             | 550              |
| ЛКК 70/110-IV   |                       |               | 1395          | 1192                        | 3800             | 650              |
| ЛК-120/110-2    | 110                   | 120           | 1316          | 1085                        | 2790             | 630              |
| ЛК-120/110-3    | 110                   |               | 1316          | 1085                        | 3340             | 630              |
| ЛК-120/110-4    |                       |               | 1446          | 1215                        | 3745             | 700              |
| ЛК-120/110-4    |                       | 120           | 1252          | 1021                        | 3850             | 550              |
| ЛКК 120/110-III |                       |               | 1345          | 1078                        | 3360             | 550              |
| ЛКК 120/110-IV  |                       |               | 1460          | 1192                        | 3800             | 650              |
| ЛК-160/110-4    |                       | 160           | 1273          | 1021                        | 3850             | 550              |

<sup>&</sup>lt;sup>3</sup> Обозначения, принятые в табл. 5:

F — механическая разрушающая сила при растяжении, кH, не менее; H — строительная высота изолятора, мм;  $H_{\rm H3}$  — длина изоляционной части изолятора, мм;  $L_{\rm yr}$  — длина пути утечки изолятора, мм, не менее;  $U_{50\%}$  — выдерживаемое напряжение грозовых импульсов, кB, не менее.

Таблица 5 — Характеристики полимерных линейных подвесных стержневых изоляторов  $^4$  (продолжение)

| Тип изолятора   | <b>U</b> ном, кВ | <i>F</i> , кН | Н, мм | <i>Н</i> из, мм | $L_{ m yr}$ , мм | <i>U</i> <sub>50%</sub> , κΒ |
|-----------------|------------------|---------------|-------|-----------------|------------------|------------------------------|
| ЛК-70/150-2     |                  |               | 1525  | 1330            | 3480             | 885                          |
| ЛК-70/150-3     |                  |               | 1525  | 1330            | 4080             | 885                          |
| ЛК-70/150-4     |                  | 70            | 1675  | 1480            | 4520             | 885                          |
| ЛКК 70/150-III  |                  |               | 1550  | 1328            | 4250             | 720                          |
| ЛКК 70/150-IV   |                  |               | 1896  | 1664            | 5400             | 920                          |
| ЛК-120/150-2    |                  |               | 1555  | 1330            | 3480             | 885                          |
| ЛК-120/150-3    | 150              | 120           | 1555  | 1330            | 4080             | 885                          |
| ЛК-120/150-4    |                  | 120           | 1705  | 1480            | 4520             | 885                          |
| ЛКК 120/150-ІІІ |                  |               | 1620  | 1328            | 4250             | 720                          |
| ЛКК 120/150-IV  |                  |               | 1970  | 1664            | 5400             | 920                          |
| ЛКК 160/150-ІІ  |                  |               | 1595  | 1320            | 3820             | 720                          |
| ЛКК 160/150-ІІІ |                  | 160           | 1735  | 1450            | 4230             | 760                          |
| ЛКК 160/150-IV  |                  |               | 2125  | 1840            | 5360             | 1070                         |
| ЛК-70/220-2     |                  |               | 2143  | 1955            | 5200             | 960                          |
| ЛК-70/220-3     |                  |               | 2048  | 1676            | 5770             | 920                          |
| ЛК-70/220-4     |                  | 70            | 2308  | 1936            | 6580             | 1050                         |
| ЛКК 70/220-ІІ   |                  | 70            | 2055  | 1842            | 5910             | 1070                         |
| ЛКК 70/220-III  |                  |               | 2193  | 1976            | 6300             | 1100                         |
| ЛКК 70/220-IV   |                  |               | 2687  | 2470            | 7900             | 1200                         |
| ЛК-120/220-3    |                  |               | 2096  | 1755            | 5770             | 980                          |
| ЛК-120/220-4    |                  |               | 2226  | 1854            | 6170             | 1050                         |
| ЛК-120/220-4    | 220              | 120           | 2097  | 1866            | 7100             | 950                          |
| ЛКК 120/220-ІІ  |                  | 120           | 2120  | 1842            | 5910             | 1070                         |
| ЛКК 120/220-ІІІ |                  |               | 2270  | 1980            | 6300             | 1100                         |
| ЛКК 120/220-IV  |                  |               | 2760  | 2470            | 7900             | 1200                         |
| ЛК-160/220-3    |                  |               | 2117  | 1755            | 5770             | 980                          |
| ЛК-160/220-4    |                  |               | 2118  | 1866            | 7100             | 950                          |
| ЛКК 160/220-ІІ  |                  | 160           | 2140  | 1846            | 5300             | 1070                         |
| ЛКК 160/220-III |                  |               | 2470  | 2182            | 6300             | 1100                         |
| ЛКК 160/220-IV  |                  |               | 3000  | 2714            | 7900             | 1400                         |

<sup>&</sup>lt;sup>4</sup> Обозначения, принятые в табл. 5:

F — механическая разрушающая сила при растяжении, кH, не менее; H — строительная высота изолятора, мм;  $H_{\rm H3}$  — длина изоляционной части изолятора, мм;  $L_{\rm yr}$  — длина пути утечки изолятора, мм, не менее;  $U_{50\%}$  — выдерживаемое напряжение грозовых импульсов, кB, не менее.

Таблица 5 — Характеристики полимерных линейных подвесных стержневых изоляторов  $^5$  (продолжение)

| Тип изолятора   | <b>U</b> ном, кВ | <i>F</i> , кН | Н, мм | <i>Н</i> из, мм | $L_{ m yr}$ , мм | <i>U</i> 50%, κΒ |
|-----------------|------------------|---------------|-------|-----------------|------------------|------------------|
| ЛКК 70/330-III  |                  | 70            | 2930  | 2695            | 7900             | 1410             |
| ЛК-120/330-3    |                  |               | 3136  | 2590            | 9000             | 1470             |
| ЛК-120/330-4    |                  | 120           | 3461  | 2884            | 10015            | 1540             |
| ЛК-120/330-4    |                  | 120           | 3657  | 3426            | 13150            | 1540             |
| ЛКК 120/330-ІІІ |                  |               | 2965  | 2695            | 7900             | 1410             |
| ЛК-160/330-3    | 330              |               | 3157  | 2590            | 9000             | 1470             |
| ЛК-160/330-4    | 330              | 160           | 3482  | 2915            | 10015            | 1540             |
| ЛКК 160/330-III |                  |               | 3000  | 2695            | 7900             | 1410             |
| ЛК-210/330-3    |                  | 210           | 3505  | 3231            | 10500            | 1540             |
| ЛК-210/330-4    |                  | 210           | 3536  | 3231            | 13500            | 1540             |
| ЛК-300/330-3    |                  | 300           | 3555  | 3231            | 10500            | 1540             |
| ЛК-300/330-4    |                  | 300           | 3586  | 3231            | 13500            | 1540             |
| ЛКК 70/500-III  |                  | 70            | 4125  | 3795            | 10520            | 1940             |
| ЛК-120/500-4    |                  | 120           | 4762  | 4531            | 17400            | 1740             |
| ЛКК 120/500-III |                  | 120           | 4170  | 3815            | 10520            | 1940             |
| ЛК-160/500-3    |                  |               | 4457  | 3890            | 13150            | 1740             |
| ЛК-160/500-4    | 500              | 160           | 4795  | 4531            | 17400            | 1740             |
| ЛКК 160/500-III | 300              |               | 4247  | 3855            | 10520            | 1940             |
| ЛК-210/500-3    |                  | 210           | 4836  | 4531            | 14700            | 1740             |
| ЛК-210/500-4    |                  | 210           | 4836  | 4531            | 18200            | 1740             |
| ЛК-300/500-3    | -                | 300           | 4886  | 4531            | 14700            | 1740             |
| ЛК-300/500-4    |                  | 300           | 4886  | 4531            | 18200            | 1740             |
| ЛК-160/750-4    |                  | 160           | 8162  | 7595            | 24700            | 2700             |
| ЛК-210/750-4    | 750              | 210           | 6851  | 6546            | 27000            | 2700             |
| ЛК-300/750-4    |                  | 300           | 6901  | 6546            | 27000            | 2700             |

<sup>5</sup> Обозначения, принятые в табл. 5:

F — механическая разрушающая сила при растяжении, кH, не менее; H — строительная высота изолятора, мм;  $H_{\rm H3}$  — длина изоляционной части изолятора, мм;  $L_{\rm yr}$  — длина пути утечки изолятора, мм, не менее;  $U_{50\%}$  — выдерживаемое напряжение грозовых импульсов, кB, не менее.

Таблица 6 – Электрические характеристики ОПН

| Тип ОПН               | $U_{\scriptscriptstyle \mathrm{Hp}}, \kappa \mathrm{B}$ | Остающиеся напряжения $U_{ m oct}$ [кВ] при максимальных значениях импульсных токов 8/20 мкс |       |       |       |  |  |  |  |
|-----------------------|---|--|-------|-------|-------|--|--|--|--|
| THII OIIII            | о нр, кв  | 5 кА   | 10 кА | 20 кА | 40 кА |  |  |  |  |
| ОПН-П-110/56/10/680   | 56  | 164  | 179   | 201   | _     |  |  |  |  |
| ОПН-П-110/77/10/680   | 77  | 225  | 246   | 276   | _     |  |  |  |  |
| ОПН-П-110/84/10/680   | 84  | 246  | 269   | 302   | _     |  |  |  |  |
| ОПН-П-110/88/10/680   | 88  | 257  | 282   | 316   | _     |  |  |  |  |
| ОПН-П-150/110/10/680  | 110   | 322  | 352   | 395   | _     |  |  |  |  |
| ОПН-П-150/120/10/680  | 120   | 351  | 384   | 431   | _     |  |  |  |  |
| ОПН-П-220/154/10/680  | 154   | 450  | 493   | 553   | _     |  |  |  |  |
| ОПН-П-220/163/10/680  | 163   | 477  | 522   | 585   | _     |  |  |  |  |
| ОПН-П-220/176/10/680  | 176   | 515  | 563   | 632   | _     |  |  |  |  |
| ОПН-П-330/210/20/1450 | 210   | _  | 609   | 671   | 739   |  |  |  |  |
| ОПН-П-330/230/10/1000 | 230   | 670  | 736   | 810   | _     |  |  |  |  |
| ОПН-П-330/230/20/1450 | 230   |  | 667   | 735   | 809   |  |  |  |  |
| ОПН-П-500/303/20/1800 | 303   | _  | 879   | 966   | 1080  |  |  |  |  |
| ОПН-П-500/318/20/1450 | 318   |  | 922   | 1020  | 1120  |  |  |  |  |
| ОПН-П-500/318/20/2100 | 318   |  | 922   | 999   | 1100  |  |  |  |  |
| ОПН-П-500/333/20/1450 | 333   |  | 966   | 1070  | 1170  |  |  |  |  |
| ОПН-П-750/455/20/2100 | 455   |  | 1320  | 1430  | 1560  |  |  |  |  |
| ОПН-П-750/465/20/2100 | 465   |  | 1350  | 1460  | 1610  |  |  |  |  |
| ОПН-П-750/475/20/2100 | 475   | _  | 1380  | 1490  | 1640  |  |  |  |  |

Таблица 7 — Поправочные коэффициенты  $K_n$  на число отходящих ВЛ

| <b>п</b> вл | 1   | 2   | 3   | 4   |
|-------------|-----|-----|-----|-----|
| $K_n$       | 1,0 | 2,0 | 4,0 | 8,0 |